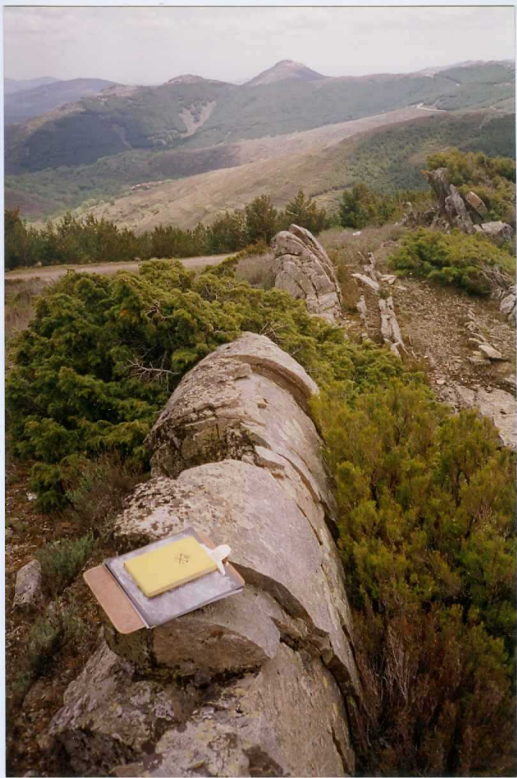




F9201 - Relieves de Cuarcita Armoricana al este de Colmenar de la Sierra



F9202 - Pliegue estrafoliar de F_2 en la alternancia de esquistos y cuarcita dentro de la ZCB. Se observa una lineación anterior cruzada en la charnela del pliegue.



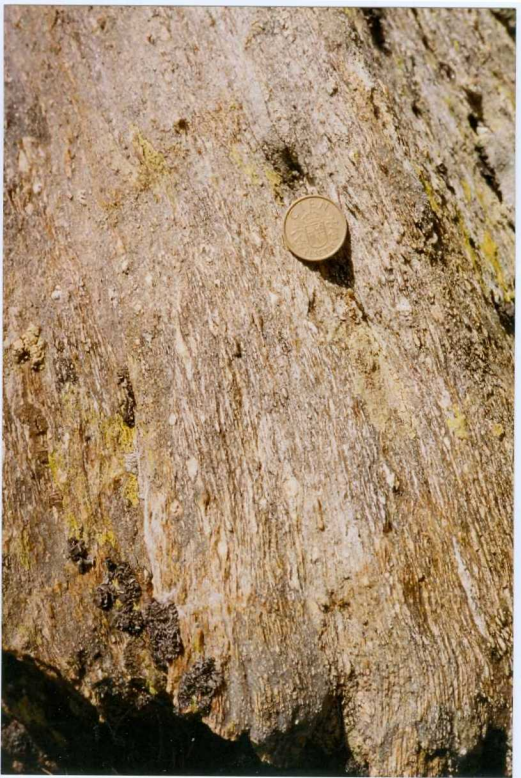
F-9203 - Pliegue estrafoliar de F_2 con plano axial subvertical, en la alternancia de esquistos y cuarcitas dentro de la ZCB.



F-9204 - Vena de cuarzo subparalela a la S2 cizallada por un plano C' con sentido de movimiento "techo a la derecha". Ejemplo de fábrica ECC en los micaesquistos suprayacentes al detachment de Montejo.



F-9205 - Pliegue de F_2 , con plano axial buzando hacia el este, en la alternancia de cuarcitas, esquistos y pizarras dentro de la banda de orientación. En niveles más pelíticos es fácil observar una S_1 rectilínea, crenulada por la S_2



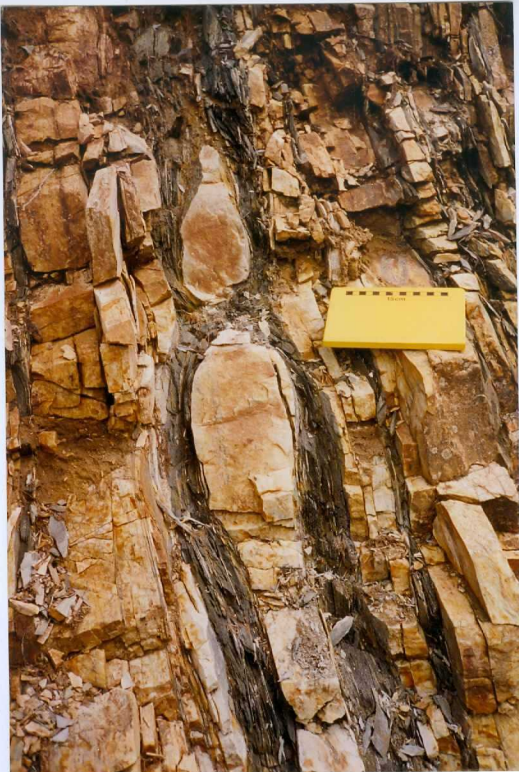
F-9206 - Fábrica SC en el neis de El Cardoso mostrando un sentido de movimiento de "techo a la derecha".



F-9207 - Relación entre la S_0 (buzando hacia el oeste) y la S_1 (subvertical) en el flanco oriental del sinclinal de Majaelrayo o Formación Rodada (R_2).



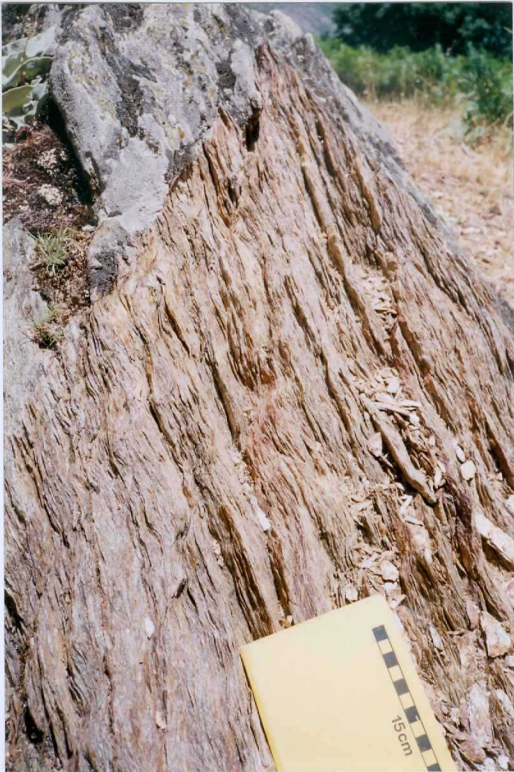
F-9208 - Relación entre la S₀ (niveles claros buzando hacia el oeste) y la S₁ (con fuerte buzamiento hacia el oeste) en el flanco oeste del sinclinal de Majaelrayo, cerca de su núcleo. Fm. Rodada (R₂).



F-9209 - Boudins consistentes con la extensión regional de la F_2 en los niveles inmediatamente infrayacentes a la cuarcita armoricana al este de La Puebla de la Sierra.



F-9210 - Pliegues de F_1 , vergentes al este, en la cuarcita armoricana del flanco oriental del sinclinal de Majaelrayo.



F-9211 - Fábrica ECC desarrollada sobre la S_2 regional con buzamiento hacia el este.
Neis del Cardoso en las proximidades del Pico Santrí.



F-9212 - Pliegues intrafoliares de F_2 con ejes “pinchando” hacia el SE en la alternancia de esquistos y cuarcitas dentro de la ZCB.



F-9213 - Fábrica ECC desarrollada sobre la S_2 regional con buzamiento al oeste. Neis de Berzosa.



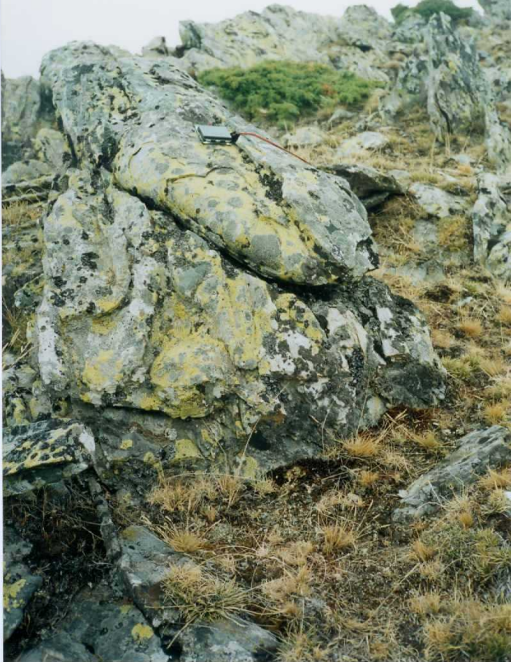
F-9214 - Idem anterior.



F-9215 - Vena de cuarzo rotada indicando un sentido de movimiento sinestral antitético con el regionalmente predominante. Tramo de micaesquistos en las proximidades del detachment de Montejo.



F-9216 - Fábrica S_2 (con buzamiento al oeste) en neises de El Cardoso, plegada y crenulada por una S_2 con fuerte buzamiento hacia el este.



F-9217 - Pliegue estrafoliar de F_2 con morfología “en vaina”.



F-9218 - Fuerte lineación de estiramientos L_2 con inmersión hacia el SE desarrollada sobre un banco cuarcítico dentro de la ZCB.



F-9219 - Fábrica ECC desarrollada sobre la S_2 regional indicando un sentido de movimiento de “techo a la izquierda”.



F-9220 - Fábrica ECC y boudins asimétricos desarrollados sobre la S_2 regional indicando un sentido de movimiento de “techo a la derecha”.



F-9221 - Fuerte estiramiento de las glándulas de feldespato del neis de El Cardoso marcando la fábrica planolinear S_2 .



F-9222 - Idem anterior



F-9223 - Morfología de tipo “Ciudad Encantada” en las dolomías masivas del Cretácico superior (unidad 16).



F-9224 - Calizas y dolomías tableadas del Cretácico superior (unidad 16).



F-9225 - Traza del Cabalgamiento del Paleozoico sobre el Mesozoico en las proximidades de Tamajón.



F-9226 - Arenas silíceas en facies Utrillas (unidad 13).



F-9227 - Depósitos rojizos del Mioceno superior y superficie de erosión en las proximidades de la Presa de El Vado.



F-9228 - Idem anterior